

بررسی تشدیدکننده‌های متناوب به عنوان موانع موج برای کاهش امواج لرزه‌یی سطحی با استفاده از تئوری بلاخ - فلوکه

شهاب امامت (کارشناس ارشد)

رضا رفیعی دهخواراقانی^{*} (استادیار)

گروه هندسی عمران، دانشکده فنی و هندسی، دانشگاه تهران

مهمنگی عمران شریف، (جمهوری ۱۴۰)، ۳۰-۳۱، شماره ۱/۴، ص. ۳۰-۳۱، (پژوهشی)
دوری ۲-۳، شماره ۱/۴، (پژوهشی)

هدف از پژوهش حاضر، بررسی تشدیدکننده‌های متناوب به عنوان یک رویکرد برای کاهش امواج لرزه‌یی سطحی است. به این منظور، ابتدا با استفاده از تئوری بلاخ - فلوکه، شبکه‌یی نامحدودی از تشدیدکننده ارزیابی شده است. سپس با استفاده از مفهوم خط صوت برای تشخیص امواج شکاف‌باند مربوط به امواج سطحی تعیین شده‌اند. مفهوم خط صوت برای تشخیص امواج سطحی خالص به کار می‌رود. سپس از آنجایی که فرضیات تئوری بلاخ - فلوکه براساس شبکه‌یی نامحدود است، اما شبکه‌یی موانع لرزه‌یی در واقعیت شبکه‌یی محدود است، راستی آزمایی شکاف‌باند مذکور با دقت گرفتن یک مدل شبکه‌یی محدود در دو حوزه‌ی بسامد و زمان ارزیابی شده است. نتایج به دست آمده نشان دادند که تشدیدکننده‌ی طراحی شده در پژوهش حاضر، شکاف‌باند قابل توجهی برای کاهش امواج سطحی دارد. همچنین نتایج حاصل از بررسی شبکه‌یی محدود نشان می‌دهد که با استفاده از تشدیدکننده‌های مذکور، دامنه‌ی امواج سطحی در بازه‌ی متناظر با شکاف‌باند در حوزه‌ی بسامد و زمان به ترتیب ۴۴ و ۷۲ کاهش یافته‌اند.

amanat.shahab@ut.ac.ir
rezarafiee@ut.ac.ir

واژگان کلیدی: موانع لرزه‌یی، تشدیدکننده، شکاف‌باند، تئوری بلاخ - فلوکه، خط صوت.

۱. مقدمه

امروزه بررسی موانع لرزه‌یی، بخش عمده‌یی از مطالعات مهندسی زیوتکنیک را شامل می‌شود. در ادبیات فنی، پژوهشگران با به کارگیری تئوری‌ها و رویکردهای مختلف به طراحی و بررسی موانع لرزه‌یی پرداخته‌اند. یکی از رویکردهای مذکور، به کارگیری یک شبکه‌یی متناوب از موانع لرزه‌یی است که با توجه به ساختار موانع آرایش شبکه‌یی اخیر، بخش قابل توجهی از امواج لرزه‌یی در برخورد با شبکه، بازتاب می‌شوند و به سازه‌ی موردنظر نمی‌رسند. به منظور بررسی شبکه‌یی متناوب اشاره شده، رویکردهای عددی و آزمایشگاهی متعدد ارائه شده است. یکی از به روزترین روش‌های موجود، تحلیل شبکه با استفاده از تئوری بلاخ - فلوکه^۱ است که در اصل یکی از تئوری‌های موجود در فیزیک حالت جامد و رویکردی برای بررسی یک شبکه‌یی نامحدود از موانع است که در اصطلاح به آن سلول واحد^۲ می‌گویند.

با فرض یک شبکه از سلول‌های واحد در اطراف سازه، تئوری بلاخ - فلوکه این امکان را فراهم می‌کند که با مدل کردن یک سلول واحد و اعمال شرایط مرزی متناوب فلوکه^۳، شبکه به صورت نامحدود تحلیل شود. به این صورت که به ازاء بردار موج‌های مختلف در ناحیه‌ی بریلوون اول^۴، بسامدهای ویژه به دست می‌آیند و پس از پس‌پردازش‌های مناسب، وجود ناحیه‌یی که در آن هیچ بسامد ویژه‌یی نباشد، بررسی

امواج لرزه‌یی حاصل از زلزله، سالانه در سراسر جهان خسارت‌های جانی و مالی جبران‌ناپذیری را به جوامع بشری وارد می‌کنند. در نتیجه، مهندسان همواره در تلاش برای ارائه رویکردهای جدیدی به منظور کاهش امواج لرزه‌یی مخرب بوده‌اند. سپاری از پژوهشگران با بهبود آینه‌های طراحی با به کارگیری مصالح جدید، برای مقاوم‌سازی سازه‌ها تلاش کرده‌اند. اما یکی دیگر از رویکردهایی که در مهندسی زیوتکنیک از دیرباز مطالعه شده است، به کارگیری موانع لرزه‌یی در خاک اطراف سازه به منظور کاهش امواج لرزه‌یی منتقل شده به سازه است. شاید بتوان از اولین مطالعات صورت گرفته در این زمینه به مطالعات وودز^۵ (۱۹۶۸)،^۶ در پیش از نیم قرن پیش اشاره کرد. در سال‌های بعد، نیز سپاری از پژوهشگران به بررسی دقیق‌تر موانع لرزه‌یی با استفاده از روش‌های عددی و تجربی پرداخته‌اند. می و بولت^۷ (۱۹۸۲)،^۸ یکی از اولین مدل‌سازی‌های عددی را بر روی ترانشه‌های موجود در خاک به منظور کاهش امواج لرزه‌یی انجام داده‌اند.

* نویسنده مسئول
تاریخ: دریافت ۹/۳/۱۴۰۱، اصلاحیه ۳۱/۵/۱۴۰۱، پذیرش ۱۴/۶/۱۴۰۱.

DOI:10.24200/J30.2022.60363.3099

به این منظور، عده‌یی از پژوهشگران به بررسی ابعاد سلول واحدی به ابعادی تا ۱۰ متر پرداخته‌اند، که می‌توانند به شکاف‌باند در بسامد‌های پایین، دست پیدا کنند.^[۷]

یکی از دیگر روش‌های مؤثر برای دستیابی به شکاف‌باند در بسامد‌های پایین، استفاده از تشیدیکننده‌هایت^[۸] است. به طور کلی، تشیدیکننده‌ها با ایجاد شدید در یک بازه‌ی خاص بسامدی موجب ایجاد شکاف‌باند می‌شوند. تشیدیکننده‌ها به دو صورت محصور و غیرمحصور در خاک در نظر گرفته می‌شوند. از نمونه مطالعات انجام شده در زمینه‌ی تشیدیکننده‌های محصور در خاک می‌توان به مطالعه‌ی پالرمو^[۹] و همکاران (۲۰۱۶)،^[۱۰] اشاره کرد. آن‌ها به طراحی یک فرآماده‌ی لرزه‌یی پرداخته‌اند که باعث تبدیل امواج لرزه‌یی سطحی رایلی به امواج حجمی برشی می‌شود. هر ساختار تشیدیکننده‌ی در نظر گرفته شده توسط ایشان، از یک جرم استوانه‌ی تشکیل شده است که توسط فزرهای الاستومر در داخل یک بدنه‌ی بتقی معاق است و می‌توان آن را با بسامد تشیدید موردنظر تنظیم کرد. همچنین آن‌ها عملکرد هر فرماده را با یک مدل تجربی مقیاس‌یافته بررسی کرده و دریافت‌های این مدل را با استفاده از تئوری ۵۰٪ با استفاده از تشیدیکننده‌های اخیر در بسامد زیر ۱۰ هرتز کاهش داد. بازه‌ی بسامدی اشاره‌شده، برای حفاظت از ساختمان‌ها و زیرساخت‌های عمرانی بسیار مناسب است.

محمد^[۱۱] و همکاران (۲۰۱۹)^[۱۲] به منظور کاهش امواج لرزه‌یی سطحی، از تشیدیکننده‌های فولادی غیرمحصور در خاک استفاده کردند و دو نوع ساختار فولادی برای تشیدیکننده‌ها در نظر گرفتند و آن‌ها را در خاک یک‌لایه و چندلایه ارزیابی کردند. با توجه به تشیدید صورت گرفته، آن‌ها توانستند به شکاف‌باند‌هایی با بسامد‌های پایین برای امواج سطحی دست پیدا کنند. همچنین ایشان نتایج به دست آمده از تحلیل شبکه‌ی محدود را که با استفاده از تئوری بلخ - فلوکه شناسایی شده بود، با به کارگیری شبکه‌ی محدود در حوزه‌ی بسامد و زمان ارزیابی کردند و نتایج، نشان‌دهنده‌ی کارایی بالای تشیدیکننده‌های مذکور در کاهش امواج لرزه‌یی در بسامد‌های پایین بوده است.

لیو^[۱۳] و همکاران (۲۰۱۹)^[۱۴] از هر دو مفهوم عمق ارزی^[۱۵] و خط صوت^[۱۶] به منظور به دست آوردن شکاف‌باند امواج سطحی استفاده کردند و نشان دادند که تشیدیکننده‌های در نظر گرفته شده با ارتفاع ۱۲ متر، توانایی تولید چندین شکاف‌باند را در بازه‌ی بسامد‌های پایین دارند. همچنین دریافت‌تند که با ترکیب هر دو مفهوم عمق ارزی و خط صوت، می‌توان بازه‌ی شکاف‌باند را با دقت بالاتری محاسبه کرد. دو روش اصلی در پس‌پردازش امواج سطحی، روش‌های مبتنی بر توزیع ارزی^[۱۷] و روش خط‌صوت^[۱۸] هستند. در روش عمق مؤثر ارزی از این مفهوم استفاده می‌شود که بیشتر ارزی امواج سطحی در نزدیکی سطح قرار می‌گیرند؛ پس می‌توان با توجه به ارزی کرنشی، مودهای سطحی را از هم جدا کرد. مطالعات در روش خط صوت نشان داده است که کمترین مود حجمی در حقیقت در مرز بین امواج سطحی خالص با امواج سطحی غیرخالص و حجمی است؛ در نتیجه می‌توان از آن برای پیدا کردن شکاف‌باند امواج سطحی استفاده کرد.

در پژوهش حاضر سعی شده است با توجه به تئوری بلخ - فلوکه و استفاده از خط صوت، یک ساختار از تشیدیکننده‌ها به منظور کاهش امواج سطحی ارائه شود. شایان ذکر است که برخلاف برخی مطالعات پیشین، که در آن‌ها عمدتاً از تشیدیکننده‌های فولادی استفاده شده است، در نوشتار حاضر جنس تشیدیکننده، بتقی بوده است که نسبت به مطالعات موجود، علاوه بر هندسه‌ی ساده‌تر، ابعاد و ارتفاع کوچک‌تری دارد، در نتیجه از لحاظ عملی، کاربردی تر و اقتصادی تر است.

می‌شود که در اصطلاح به بازه‌ی بسامدی مذکور، شکاف‌باند^[۱۹] می‌گویند. شکاف‌باند در حقیقت بازه‌یی از بسامد است که در صورت داشتن یک شبکه‌ی نامحدود از مواعن موردنظر، تمامی مواعن دارای بسامدی در بازه‌ی شکاف‌باند در اثر برخورد با شبکه بازتاب می‌شوند و از شبکه عبور نمی‌کنند.^[۲۰]

یکی از اولین پژوهش‌های انجام شده برای به کارگیری تئوری بلخ - فلوکه در مهندسی عمران، توسط هوانگ و شی^[۲۱] صورت گرفته است. ایشان به بررسی زمین‌هایی شامل یک شبکه‌ی دو بعدی از سلول‌های واحد از شمع های پشتی پرداخته‌اند. همچنین علاوه بر درنظر گرفتن آرایش‌های مربعی و مثلثی برای شبکه، به بررسی تأثیر جنس خاک و اندازه‌ی شعاع شمع ها بر روی شکاف‌باند پرداخته و دریافت‌های ارتعاش‌های با بسامدی در بازه‌ی شکاف‌باند به کمک مواعن اخیر به طور قابل توجهی کاهش می‌یابند. یکی دیگر از مطالعات جامع در حوزه‌ی اشاره شده، توسط در تیمانیس^[۲۲] و همکاران (۲۰۱۶)^[۲۳] صورت گرفته است. ایشان سلول واحدی شامل یک هسته‌ی متراکم، یک پوسته‌ی نازک متشکل از یک ماده‌ی سبک، و تاندون‌های الاستومر را در نظر گرفتند و با استفاده از تئوری بلخ - فلوکه و تحلیل ارتعاش کلاسیک، آن را ارزیابی کردند. طرح پیشنهادی ایشان می‌توانست شکاف‌باندی در بازه‌ی بسامدی خیلی کم، یک پوسته‌ی متراکم، یک پوسته‌ی نازک متشکل از

با توجه به قرار گرفتن بیشتر سازه‌ها در سطح و یا در نزدیکی سطح زمین، امواج سطحی دارای تأثیر مخرب بیشتری هستند. به این منظور در بخش عمده‌ی از مطالعات موجود در ادبیات فنی، پژوهشگران به دنبال یافتن شکاف‌باند امواج سطحی هستند. به این منظور پو^[۲۴] و شی^[۲۵] به بررسی انتشار امواج سطحی در ساختارهای یک‌بعدی و دو بعدی پرداخته‌اند. ایشان با استفاده از روش اجزاء محدود و معرفی یک پارامتر توزیع انرژی، روش جدیدی برای شناسایی حالت‌های موج سطحی پیشنهاد دادند. سپس اثربخشی روش جدید ارائه شده را با مقایسه با برخی از مطالعات مرتبط تأیید کردند و از روش مذکور برای مطالعه‌ی یک سیستم متنابض خاک - شمع بر اساس مدل عددی سه‌بعدی استفاده کردند. سپس ایشان (۲۰۱۸)^[۲۶] در مطالعه‌ی دیگری به بررسی رفتار شمع برای کاهش امواج سطحی ناشی حرکت قطارها در یک زمین لایه‌یی پرداخته و علاوه بر جداسازی امواج سطحی، امواج رایلی را هم از امواج سطحی جدا کردند؛ زیرا امواج مذکور بیشترین آسیب را به سازه‌های عمرانی وارد می‌کنند. آن‌ها دریافتند که با استفاده از شمع‌هایی از جنس خاکستر بادی^[۲۷] می‌توان به یک شکاف‌باند برای امواج سطحی از نوع رایلی در بازه‌ی بسامدی ۳۹/۷ تا ۴۶ هرتز دست پیدا کرد که راستی آزمایی شکاف‌باند اخیر هم در حوزه‌ی بسامد و هم در حوزه‌ی زمان، به کمک شبیه‌سازی‌های اجزاء محدود مدل شبکه‌ی محدود تأیید شده است.

نکته‌ی قابل توجه در طراحی مواعن لرزه‌یی، محدوده‌ی بسامد شکاف‌باند است. شکاف‌باند باید بر بازه‌یی از بسامد منطقی باشد که در صورت اعمال امواج لرزه‌یی در بازه‌ی بسامدی ذکر شده، سازه دچار آسیب شود. بدون شک امروزه امواج لرزه‌یی ناشی از زلزله، یکی مخرب‌ترین امواج لرزه‌یی هستند که کاهش آثار آن هدف بسیاری از مطالعات رشته‌ی مهندسی عمران در سراسر جهان است. بیشتر آسیب‌های ناشی از امواج لرزه‌یی ناشی از زلزله در بسامد‌های پایین، یعنی در محدوده‌ی زیر ۱۵ هرتز، رخ می‌دهد؛ در نتیجه اهمیت وجود شکاف‌باند در بسامد‌های پایین، بسیار زیاد است. به طور کلی، علاوه بر ساختار سلول واحد و نوع خاک، ابعاد سلول واحد یکی دیگر از عوامل مؤثر در کاهش بسامد شکاف‌باند است؛ به این صورت که معمولاً با افزایش ابعاد یک سلول واحد، بازه‌ی بسامدی شکاف‌باند کاهش می‌یابد.

۲. روش پژوهش

۱.۲. تعریف مسئله

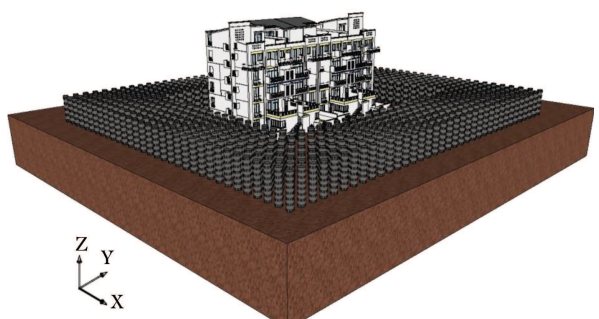
هدف اصلی در پژوهش حاضر، کاهش امواج لرزه‌یی سطحی با استفاده از یک شبکه از تشدیدکننده‌ها مانند شکل ۱ است. اما شبیه‌سازی یک شبکه‌یی کامل بدون استفاده از مفهوم سلول واحد و مرزهای متناوب به عمل گستردگی بودن هندسه با استفاده از بیشتر نرم‌افزارهای موجود عددی، بسیار پر هزینه و تقریباً غیرممکن است. این در حالی است که با استفاده تئوری بلاخ - فلوکه می‌توان رفتار یک تشدیدکننده را به راحتی در یک شبکه‌یی نامحدود و با هزینه‌یی محاسباتی بسیار کم بررسی کرد. بدین منظور در پژوهش حاضر، از تئوری بلاخ - فلوکه برای بررسی رفتار یک سلول واحد از یک تشدیدکننده استفاده و شکاف‌باند متناسب با امواج سطحی برای تشدیدکننده محاسبه شده است. همچنین از آزمایی شکاف‌باند موردنظر در یک شبکه‌یی نامحدود امکان‌پذیر نیست، راستی آزمایی شبکه‌یی کاهش امواج لرزه‌یی سطحی برای تشدیدکننده محاسبه شده است. در مطالعه‌ی حاضر، رفتار مانع لرزه‌یی سلول واحد استفاده کرد و هزینه‌های محاسباتی را به طرز محسوسی کاهش داد. از آنجا که برای حل مسئله هم در شبیه‌سازی سلول واحد (شبکه‌یی نامحدود) و هم در شبکه‌یی محدود از روش عددی اجراء محدود استفاده شده است، لذا هندسه‌یی مسائل با استفاده از مشبکه‌یی گستته شده‌اند.

۲.۲. تئوری بلاخ - فلوکه در ساختارهای متناوب

در مطالعه‌ی حاضر، رفتار مانع لرزه‌یی و خاک به صورت کشسان خطی، همکن و با صرف نظر کردن از میرایی، در نظر گرفته شده است؛ زیرا علاوه بر ساده کردن شبیه‌سازی، از کاهش دامنه‌ی امواج به دلیل میرایی مصالح صرف نظر شده است، تا کارایی مانع لرزه‌یی به صورت واضح‌تر مشخص شود. همچنین به منظور سادگی شبیه‌سازی، از رفتار ویسکوکشسان خاک و نیز رفتار غیرخطی بین خاک و مانع لرزه‌یی صرف نظر شده است. معادله‌ی انتشار امواج در محیط همگن، ایزوتrop و بدون میرایی مطابق رابطه‌ی ۱ است^[۶]:

$$\rho \frac{\partial^2 u}{\partial t^2} - \nabla c \nabla u = 0 \quad (1)$$

که در آن، ∇ عملگر دیفرانسیلی، t پارامتر زمان، c تانسور کشسانی، ρ چگالی و



شکل ۱. یک مدل کامل از شبکه‌یی تشدیدکننده در اطراف سازه.

و بردار جابه‌جایی هستند. در یک ساختار متناوب میدان جابه‌جایی به صورت رابطه‌ی ۲ است:^[۱۰]

$$u(r, t) = e^{(iK \cdot r - \omega t)} u_K(r) \quad (2)$$

که در آن، (r) میدان مدولاسیون جابه‌جایی^[۱۱]، w بسامد زاویه‌یی و K بردار موج است که k_x و k_y به ترتیب عدد موج^[۲۲] در راستای فضایی بریلوئن متقابل^[۲۳] هستند. تمام واحدهای سازنده‌یی یک ساختار متناوب نامحدود که در اصطلاح به آن سلول واحد می‌گویند، دارای میدان‌های متناوبی هستند. در نتیجه میدان مدولاسیون جابه‌جایی، یک میدان متناوب در سلول واحد است. در نتیجه، اگر T بردار ثابت شبکه‌یی متناوب باشد، رابطه‌ی ۳ را خواهیم داشت:^[۱۸]

$$u_K(r + T) = u_K(r) \quad (3)$$

در اصل با استفاده از تئوری مذکور، شبکه‌یی اصلی به شبکه‌یی بریلوئن متقابل تبدیل می‌شود که بردارهای پایه‌یی شبکه‌یی بریلوئن متقابل، فضای فوریه‌یی بردارهای پایه‌یی شبکه‌یی اصلی هستند. در نتیجه، بردارهای پایه‌یی شبکه‌یی بریلوئن متقابل را می‌توان به فرم رابطه‌ی ۴ تعریف کرد:

$$b_x = 2\pi \frac{\mathbf{a}_y \times \mathbf{a}_z}{\mathbf{a}_x \cdot (\mathbf{a}_y \times \mathbf{a}_z)}; b_y = 2\pi \frac{\mathbf{a}_z \times \mathbf{a}_x}{\mathbf{a}_x \cdot (\mathbf{a}_y \times \mathbf{a}_z)}; \quad (4)$$

که در آن، \mathbf{a}_x ، \mathbf{a}_y و \mathbf{a}_z بردارهای پایه‌یی فضای شبکه‌یی اصلی هستند. در پژوهش حاضر، شبکه‌یی به صورت دو بعدی و دارای ساختار متناوب در نظر گرفته شده است، بنابراین بردارهای پایه‌یی فضای شبکه‌یی اصلی به صورت رابطه‌ی ۵ هستند:

$$\mathbf{a}_x = (a_x, 0, 0); \mathbf{a}_y = (0, a_y, 0); \mathbf{a}_z = (0, 0, 1) \quad (5)$$

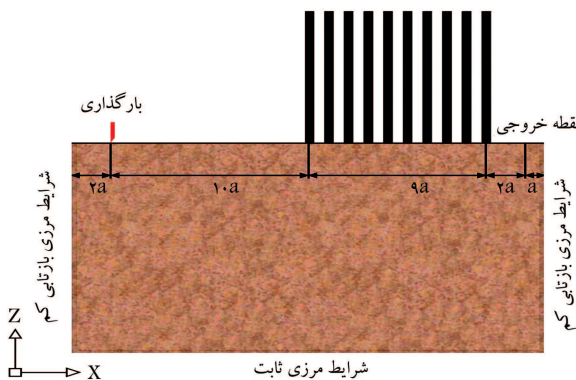
که در آن a_x و a_y به ترتیب ابعاد سلول واحد در راستای محورهای مختصات و عناصر پایه‌یی سازنده‌یی بردار ثابت شبکه‌یی متناوب هستند. در نتیجه رابطه‌ی ۶ به دست می‌آید:

$$b_x = (2\pi/a_x, 0, 0); b_y = (0, 2\pi/a_y, 0) \quad (6)$$

از طرفی با جایگذاری رابطه‌ی ۳ در رابطه‌ی ۲، شرایط مرزی متناوب برای سلول واحد مطابق رابطه‌ی ۷ به دست می‌آید:

$$u(r + T, t) = e^{(iK \cdot T, t)} u(r, T) \quad (7)$$

به عبارتی دیگر، در واقع مطابق با شرایط مرزی به دست آمده، موج‌های ورودی و خروجی از یک سلول واحد، دارای اختلاف فاز $K \cdot T$ هستند. سلول واحد بعد از اعمال شرایط مرزی در رابطه‌ی ۷ در حقیقت نماینده‌یی یک شبکه‌یی نامحدود است؛ به عبارتی دیگر، با اعمال شرایط مرزی اخیر به یک سلول واحد، معادله‌ی تبدیل به یک مسئله‌ی مقدار ویژه برای شبکه نامحدود می‌شود.^[۱۹] هر نقطه از شبکه‌یی بریلوئن متقابل، در حقیقت متناظر با یک مود از شبکه‌یی نامحدود اصلی است. از طرفی، با توجه به متناوب بودن شبکه فقط کافی است که سلول واحد در کوچک‌ترین واحد تکرارشونده که به اصطلاح به آن ناحیه‌یی بریلوئن اول می‌گویند، بررسی شود. از طرفی در یک سلول واحد مقارن به دلیل تقارن، فقط می‌توان شبکه‌یی نامحدود را با $\frac{1}{4}$ ناحیه‌یی بریلوئن اول بررسی کرد؛ که در اصطلاح به ناحیه‌یی اخیر، ناحیه‌یی بریلوئن ناکاستنی اول^[۲۴] می‌گویند. ناحیه‌یی بریلوئن اول و ناحیه‌یی بریلوئن ناکاستنی اول در شکل ۲ مشاهده می‌شوند. با جایگذاری شرایط



شکل ۳. شبکه‌ی محدود از تشدیدکننده برای بررسی در حوزه‌های بسامد و زمان.

که در آن، $|K|$ بیانگر اندازه‌ی بردار موج و c_s سرعت موج بر Shi در خاک است که برابر با $c_s = \sqrt{G/\rho}$ است. همچنین G مدول بر Shi و ρ چگالی خاک هستند.

۴.۲. بررسی شبکه‌ی محدود در حوزه‌ی بسامد و زمان

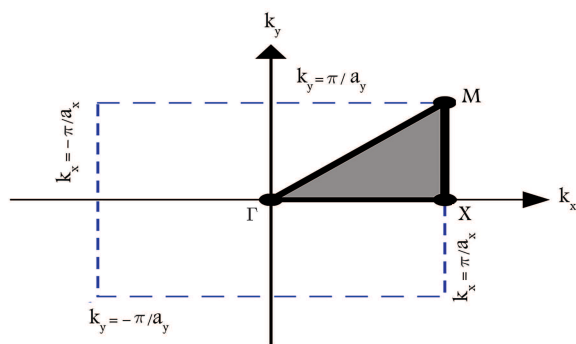
در حقیقت، شکاف‌باند بازه‌یی از بسامد را نشان می‌دهد که در صورت وجود یک شبکه‌ی محدود از موانع موردنظر، هیچ مودی با بسامد مذکور از شبکه عبور ننمی‌کند و در واقع بازتاب می‌شود. اما در واقعیت، ساخت یک شبکه‌ی محدود میسر نیست. بنابراین همانند برخی مطالعات پیشین در ادبیات فنی^[۱۰، ۱۱] مانع لرزه‌یی و اعتبار شکاف‌باند آن باید در یک شبکه‌ی محدود ارزیابی شود. بدین منظور در پژوهش حاضر، شبکه‌یی سه‌بعدی از یک ردیف ۱۵ تایی از تشدیدکننده‌ها با ابعاد و شرايط مرزي مطابق شکل ۳ در نظر گرفته شده است که بتوان شبکه‌ی محدود را در حوزه‌های بسامد و زمان ارزیابی کرد. شایان ذکر است که شرايط مرزي در جهت عمود بر صفحه به صورت متناوب در نظر گرفته شده است، تا شرايط مدل‌سازی به واقعیت نزدیک‌تر باشد. در حقیقت فرض شده است در جهت عمود بر صفحه، به تعداد کافی، سلول واحد قرار گرفته است. همچنین در سمت راست و چپ مدل از شرايط مرزي جاذب استفاده شده است، تا امواج ارتعاشی از مدل خارج شوند؛ به عبارتی، یک محیط نیمه‌یی نهایت از خاک مدل‌سازی شده است. در انتهای مدل هم به دلیل فرض وجود سنگ بستر، از شرايط ثابت استفاده شده است.

به منظور بررسی راستی آزمایی شکاف‌باند به دست آمده در حوزه‌ی بسامد، از تحلیل دامنه‌ی بسامدی برای شبکه‌ی محدود استفاده شده است. به این صورت که یک مدل اجزاء محدود از شبکه‌یی شامل تعدادی سلول واحد موردنظر توسعه یک بارگذاری هارمونیک در نقطه‌ی ورودی بار مطابق شکل ۳ با بسامد متناسب با شکاف‌باند تحریک شده است. سپس با مقایسه‌ی جابه‌جایی نقطه‌ی خروجی در سمت دیگر تشدیدکننده، برای مدل با مانع لرزه‌یی و مدل بدون مانع لرزه‌یی، میزان کارایی مانع لرزه‌یی ذکر شده تعیین شده است. بدین منظور در پژوهش حاضر، ابتدا ضریب کاهش دامنه^[۲۷] که در رابطه‌ی ۱۵ توسط وود^[۱۹۶۸] ارائه شده است، استفاده شده است:

$$AR = \frac{U_{\text{with barriers}}}{U_{\text{without barriers}}} \quad (10)$$

که در آن، $U_{\text{without barriers}}$ به ترتیب مقدار جابه‌جایی کل در مدل با مانع و بدون مانع هستند. سپس میزان طیف کاهش دامنه^[۲۸] مطابق رابطه‌ی ۱۱^[۲۹] محاسبه شده است:

$$ARS = 20 \log_{10} AR \quad (11)$$



شکل ۲. ناحیه‌ی خط‌چین، نشان‌دهنده‌ی ناحیه‌ی بریوئن اول و ناحیه‌ی هاشورخورد، نشان‌دهنده‌ی ناحیه‌ی بریوئن ناکاستنی اول است.

مرزی متناوب در رابطه‌ی انتشار موج، مسئله‌ی مقدار ویژه به صورت رابطه‌ی ۸ به دست می‌آید:

$$(\Omega(K) - \omega^* M) \cdot U = 0 \quad (8)$$

که در آن (K) ، ماتریس سختی به صورت تابعی از بردار موج، M ماتریس جرم، ω بسامد زاویه‌یی و U بردار جابه‌جایی هستند. رابطه‌ی ۸، در حقیقت یک مسئله‌ی مقدار ویژه است که یک رابطه‌ی ضمنی بین بردار مکان و بسامدی برقرار می‌کند که از آن می‌توان نمودار رابطه‌ی پراکندگی^[۲۵] را به دست آورد. سپس اگر بازه‌یی از بسامد در نمودار رابطه‌ی پراکندگی دارای هیچ مودی نباشد، در اصطلاح به آن شکاف‌باند می‌گویند. شکاف‌باند در حقیقت بازه‌یی از بسامد را نشان می‌دهد که امواجی با بسامدی در بازه‌یی بسامدی شکاف‌باند نمی‌توانند از شبکه‌ی محدود سلول‌های واحد موردنظر عبور کنند و در واقع توسط شبکه‌ی مذکور بازتاب می‌شوند.

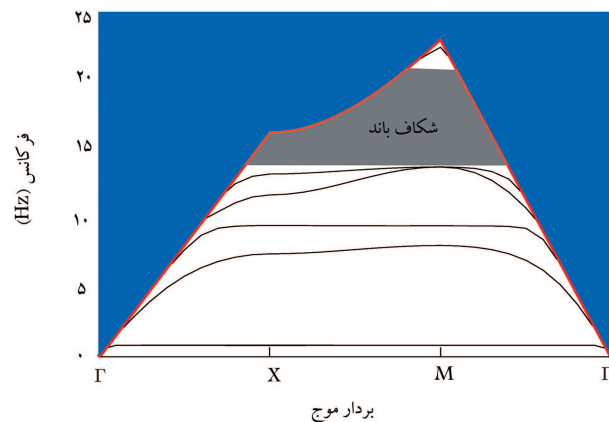
۳.۲. مفاهیم خط صوت و مخروط صوت

مطالعات صورت گرفته شده در ادبیات فنی در فیزیک حالت جامد نشان داده‌اند که می‌توان مرزی بین امواج سطحی خالص و امواج سطحی ناخالص در نمودار رابطه‌ی پراکندگی رسم کرد که در اصطلاح به مرز ذکر شده، خط صوت می‌گویند. خط صوت در حقیقت گندترین مودهای حجمی در نمودار رابطه‌ی پراکندگی هستند. همچنین مخروط صوت، ناحیه‌ی بالایی خط صوت است که مودهایی که در درون آن قرار می‌گیرند، احتمالاً حالت‌های تشبعشی بسیار پرتفاوت هستند.^[۱۶] در نتیجه، فقط حالت‌های زیر خط صوت یا به عبارتی خارج از مخروط صوت، به عنوان مودهای سطحی خاص تلقی می‌شوند. در حقیقت مودهای سطحی خالص هستند که می‌توانند در سطح زمین در طول قابل ملاحظه‌ی ارتعاش پیدا کنند؛ اما مودهای سطحی ناخالص به سرعت در مسیر ارتعاش، انرژی خود را به لایه‌های پایینی منتقل می‌کنند و شدت آن‌ها در طول مسیر ارتعاش به سرعت کاهش می‌یابد. پس متدالوی است که در مطالعات این حوزه، از موج‌های سطحی ناخالص صرف نظر کرد و فقط مودهای بالای خط صوت، یعنی مودهای سطحی خاص تحلیل و بررسی شوند. مطالعات انجام شده نشان می‌دهند که خط صوت را می‌توان با استفاده از مشخصات مصالح بستر در تشدیدکننده‌ها تعیین کرد. لیو و همکاران^[۲۰ ۱۹] خط صوت را با استفاده از رابطه‌ی ۹ رسم کردند و نشان دادند که مفهوم خط صوت به خوبی در کاربردهای مهندسی عمران کاربرد دارد:

$$\omega = |K| \cdot c_s \quad (9)$$

جدول ۲. مشخصات مصالح تشدیدکننده و خاک بررسی شده.

عنوان	مدول کشسانی	چگالی	ضریب پوسون
بن	۲۵	۲۵۰ کیلوگرم بر مترمکعب	۰/۲
خاک	۲۰	۱۸۰ کیلوگرم بر مترمکعب	۰/۳



شکل ۵. نمودار رابطه‌ی پراکندگی برای تشدیدکننده‌ی بررسی شده (ناحیه‌های آبی و طوسی رنگ به ترتیب متناظر با مخروط صوت و شکاف باند هستند).

به شعاع $5/5$ متر و ارتفاع 6 متر از جنس بن و تابت شبکه مربوط به سلول واحد برابر 2 متر فرض شده است. نکته‌ی قابل توجه در پژوهش حاضر این است که تشدیدکننده‌ی مذکور نسبت به تشدیدکننده‌های در نظر گرفته شده در بسیاری از مطالعات موجود، ارتفاع بسیار کمتر دارد و همچنین در بسیاری از مطالعات موجود از مصالح فولادی یا خاصی استفاده شده است؛ اما در پژوهش حاضر تشدیدکننده‌ی بررسی شده از جنس بن بوده است که موجب کاربردی‌تر شدن پژوهش حاضر شده است. در پژوهش حاضر، خاک به صورت یک لایه به عمق 35 متر و مشابه مشخصات ارائه شده در پژوهش محمد و همکاران [۲۰۱۹] در نظر گرفته شده است. مشخصات بن و خاک در جدول ۲ ارائه شده‌اند.

به منظور مدل‌سازی سلول واحد در نرم‌افزار کامسول از شرایط مرزی متنابع از نوع بلاخ - فلوكه با بردار موج متناسب در ناحیه‌ی برق‌لون ناکاستی اول در چهار طرف مدل استفاده شده است تا شرایط نظری شبکه‌ی نامحدود برقرار باشد. همچنین شرایط مرزی سطح به صورت آزاد و شرایط مرزی انتهاي مدل ثابت در نظر گرفته شده است، تا مدل‌سازی با واقعیت مطابقت داشته باشد.

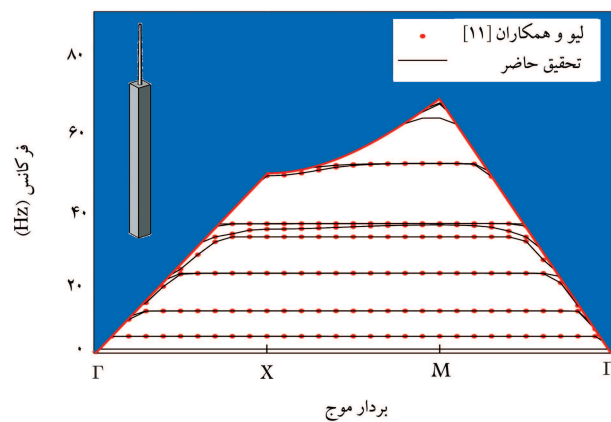
۳. نتایج و بحث

نمودار رابطه‌ی پراکندگی برای تشدیدکننده‌ی بررسی شده مطابق شکل ۵ است که نشان‌دهنده‌ی یک شکاف باند در بازه‌ی 14 تا 21 هرتز در زیر خط صوت است. در نتیجه، مطابق با توضیحات بخش‌های قبلی، مودهای خارج از خط صوت مذکور، مود سطحی خالص نیستند و در صورت وجود یک شکاف باند در زیر خط صوت انتظار می‌رود که ناحیه‌ی مذکور همانند یک شکاف باند امواج سطحی عمل کند.

نتایج به دست آمده در حوزه‌ی بسامد در شکل ۶ مشاهده می‌شوند که مطابق آن با نتایج ارائه شده توسط لیو و همکاران [۲۰۱۹] (۱۱) تطابق دقیقی دارد و در نتیجه، راستی آزمایی مدل‌سازی‌های اجراء محدود را نشان می‌دهد. شایان ذکر است برای اطمینان از درستی نتایج، اندازه‌ی مش و نمو مربوط به عدد موج با استفاده از تحلیل حساسیت انتخاب شده است.

جدول ۱. مشخصات مصالح در نظر گرفته شده در تحقیق لیو و همکاران [۲۰۱۹] (۱۱).

عنوان	مدول کشسانی	چگالی	ضریب پوسون
تشدیدکننده	۷۰۰ گیگاپاسکال	۷۰۰ کیلوگرم بر مترمکعب	۰/۳
خاک	۱۷۰۰ گیگاپاسکال	۱۷۰۰ کیلوگرم بر مترمکعب	۰/۳۵



شکل ۴. اعتبار سنجی پیاده‌سازی سلول واحد در نرم‌افزار کامسول با نتایج ارائه شده توسط لیو و همکاران [۲۰۱۹]. ناحیه آبی رنگ مخروط صوت را نشان می‌دهد.

اگر مانع لرزه‌ی کاربی مناسبی داشته باشد، انتظار می‌رود ضریب کاہش دامنه، کوچک‌تر از 1 باشد و به طبع آن، طیف کاہش دامنه نیز باید منفی باشد. هر چه طیف کاہش دامنه منفی تر باشد، کاربی سلول واحد بیشتر است. به منظور بررسی در حوزه‌ی زمان از یک بارگذاری قائم با فرم $F(t) = \sin(2\pi f_B t)$ در نقطه‌ی ورودی استفاده شده است که در آن f_B بسامد بارگذاری است که در ناحیه‌ی شکاف باند قرار دارد. سپس برای مدل با مانع و بدون مانع، جایه‌جایی نقطه‌ی خروجی در جهت قائم به دست آمده و پس از نرمال کردن به بیشینه‌ی جایه‌جایی حالت بدون مانع در یک نمودار رسم شده است که نمودار مذکور به خوبی نشان‌دهنده‌ی کاربی مانع لرزه‌ی در حوزه‌ی زمان است.

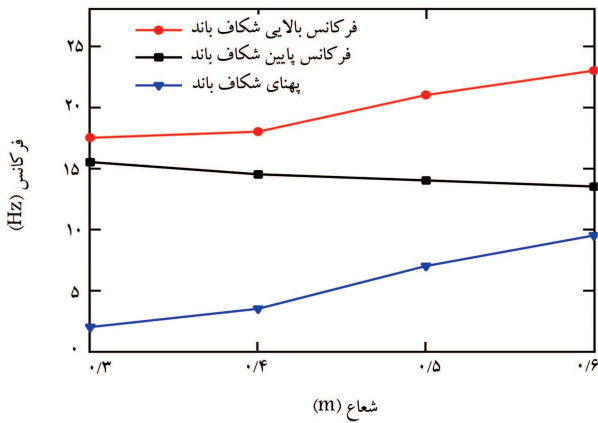
۴. اعتبار سنجی

به منظور مدل‌سازی سلول واحد در نرم‌افزار کامسول از شرایط مرزی متنابع از نوع بلاخ - فلوكه با بردار موج متناسب در ناحیه‌ی برق‌لون ناکاستی اول در چهار طرف مدل استفاده شده است تا شرایط نظری شبکه‌ی نامحدود برقرار باشد. همچنین شده است تا با تطبیق نتایج، اعتبار سایر مدل‌سازی‌های در پژوهش حاضر تأیید شوند. ایشان از تشدیدکننده‌هایی به فرم درخت به ارتفاع 12 متر با شعاع پایینی $3/3$ متر و شعاع بالایی $15/0$ متر در یک سلول واحد با تابت شبکه‌ی 2 متر متشکل از 30 متر خاک تک‌لایه استفاده کردند. مشخصات تشدیدکننده و خاک در نظر گرفته شده توسط آن‌ها در جدول ۱ ارائه شده است.

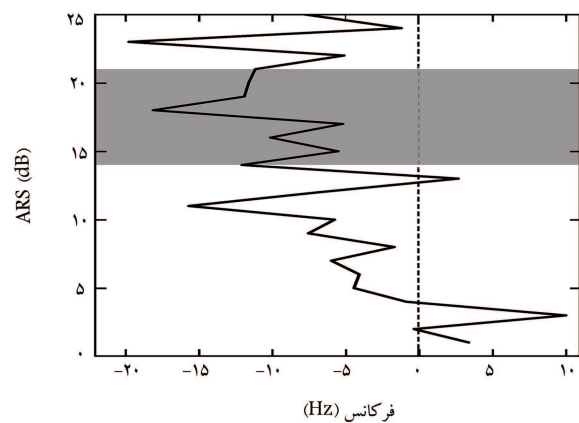
نتایج به دست آمده همراه با مخروط صوت در شکل ۴ مشاهده می‌شوند که مطابق آن با نتایج ارائه شده توسط لیو و همکاران [۲۰۱۹] (۱۱) تطابق دقیقی دارد و در نتیجه، راستی آزمایی مدل‌سازی‌های اجراء محدود را نشان می‌دهد. شایان ذکر است برای اطمینان از درستی نتایج، اندازه‌ی مش و نمو مربوط به عدد موج با استفاده از تحلیل حساسیت انتخاب شده است.

۵. تشدیدکننده‌ی بررسی شده

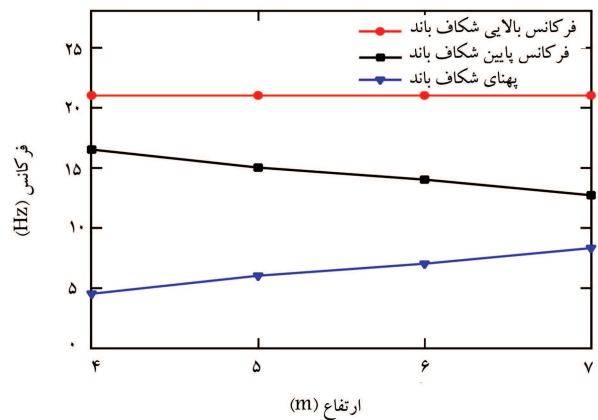
در پژوهش حاضر، مانع لرزه‌ی به صورت یک تشدیدکننده با شکل استوانه‌ی و



شکل ۸. تغییرات پهناش، بسامدهای بالایی و پایینی شکاف باند به ازاء مقادیر مختلف شاعع تشیدیدکننده.

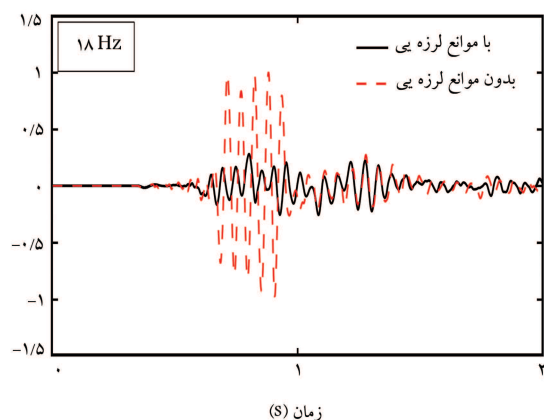


شکل ۶. طیف پاسخ دامنه در حوزه‌ی بسامد برای تشیدیدکننده بررسی شده (ناحیه‌ی طوسی رنگ، ناحیه‌ی متناظر با شکاف باند است).



شکل ۹. تغییرات پهناش، بسامدهای بالایی و پایینی شکاف باند به ازاء مقادیر مختلف طول تشیدیدکننده.

دو پارامتر اخیر در پهناش شکاف باند (BGW)، بسامد بالایی شکاف باند (UBG) و بسامد پایین شکاف باند (LBG) صورت گرفته است. نتایج حاصل به ازاء تغییرات بازه و عرض شکاف باند به ازاء شاعع و طول تشیدیدکننده به ترتیب در شکل‌های ۸ و ۹ مشاهده می‌شوند. نتایج نشان می‌دهند که افزایش شاعع تشیدیدکننده به ترتیب باعث افزایش می‌شوند. در نتیجه افزایش پهناش شکاف باند بازه و کاهش بسامد بزرگ‌تر و کوچک‌تر در شکاف باند و در نتیجه افزایش پهناش شکاف باند شده است. این در حالی است که بسامد بزرگ‌تر در شکاف باند با افزایش طول تشیدیدکننده، ثابت مانده است، اما بسامد کوچک‌تر کاهش و مجدد پهناش شکاف باند افزایش یافته است.



شکل ۷. نتیجه‌ی بررسی شبکه‌ی محدود تشیدیدکننده بررسی شده در حوزه‌ی زمان.

است که نشانگر کارایی تشیدیدکننده مذکور است. نکته‌ی قابل توجه، میزان منفی بودن طیف کاهش دامنه است، به طوری که در تمام ناحیه‌ی شکاف باند، مقدار آن تقریباً از $-5/-1$ کمتر است که بینگر کاهش قابل ملاحظه‌ی دامنه‌ی امواج لرزه‌ی سطحی است. مطابق رابطه‌ی ۱۱، اگر مقدار طیف کاهش دامنه کمتر از $-5/-1$ باشد، نشان دهنده‌ی بیش از 44% کاهش در دامنه‌ی امواج لرزه‌ی سطحی است که مقدار بسیار قابل توجهی است. همچنین شایان ذکر است که به دلیل محدودیت‌های مدل‌سازی، شبکه‌ی محدود فقط در یک راستای افقی ناحیه‌ی بریلوون ناکاستی اول بررسی شده است. از آنجایی که شکاف باندی که فقط متناسب با راستای اخیر است، متفاوت از بازه شکاف باند متناظر با ناحیه‌ی کامل بریلوون ناکاستی اول است؛ لذا، در بسامدهای دیگر حوزه‌ی بسامد نیز کاهش مشاهده می‌شود. به عبارت دیگر، مدل‌سازی حوزه‌ی بسامد فقط به دلیل نشان دادن راستی آزمایی کارایی شکاف باند انجام شده است. نتایج بررسی شبکه در حوزه‌ی بسامد به ازاء $f_B = 18\text{ Hz}$ در شکل ۷ مشاهده می‌شود. مطابق با نتایج اخیر تشیدیدکننده بررسی شده در حوزه‌ی زمان نیز توانایی بسیار خوبی در کاهش امواج لرزه‌ی سطحی در محدوده‌ی شکاف باند دارد. مطابق با نتایج اخیر، میزان بیشینه‌ی دامنه‌ی ارتعاش ناحیه‌ی خروجی بعد از به کارگیری تشیدیدکننده‌ها، 72% کاهش یافته است.

۴. نتیجه‌گیری
استفاده از تشیدیدکننده‌ها، یکی از روش‌های متداول در کاهش دامنه‌ی امواج لرزه‌ی سطحی است. در حقیقت، تشیدید به وجود آمده بین تشیدیدکننده و امواج سطحی باعث می‌شود که در یک بازه بسامدی، امواج از شبکه عبور نکنند و در عمل بازتاب شوند. در پژوهش حاضر، نیز با استفاده از تئوری بلاخ - فلوكه، یک تشیدیدکننده بتنی بررسی شده است که از دو جهت کاربردی است:

۱. مصالح تشیدیدکننده در نظر گرفته شده، بنابراین بخلاف مطالعات موجود از فولاد یا مصالح خاص و گران قیمت استفاده نشده است.

دو پارامتر کلیدی تأثیرگذار در بازه و عرض شکاف باند در تشیدیدکننده‌ها، طول و شاعع تشیدیدکننده هستند. به این منظور در پژوهش حاضر، یک بررسی بر روی تأثیر

تشدیدکننده، بسامد بالایی شکاف باند ثابت مانده است.
نتایج بدست آمده، توانایی تشدیدکننده‌ی مذکور را در ایجاد شکاف باندی در بازه‌ی
بسامدی ۱۴ تا ۲۱ برای شبکه‌ی نامحدود موافق مطابق با تئوری بلاخ - فلوكه نشان
می‌دهد. همچنین راستی آزمایی شکاف باند اخیر با مدل سازی یک شبکه‌ی محدود در
دو حوزه‌ی بسامد و زمان بررسی شده است که نتایج حاکمی از توانایی تشدیدکننده‌ی
موردنظر در کاهش امواج لرزه‌بی سطحی در بازه‌ی متناسب با شکاف باند بوده است.

۲. ارتفاع تشدیدکننده، ۶ متر بوده است. این در حالی است که در مطالعات موجود،
ارتفاع تشدیدکننده معمولاً بیش از ۱۰ متر فرض شده است.

۳. با افزایش شعاع و طول تشدیدکننده، بازه‌ی شکاف باند افزایش و بسامد پایینی
شکاف باند کاهش یافته‌اند. همچنین با افزایش شعاع تشدیدکننده، بسامد بالایی
شکاف باند نیز افزایش یافته است. این در حالی است که به ازاء افزایش طول

پابندی

1. Woods
2. May & Bolt
3. Bloch-Floquet Theory
4. unit cell
5. floquet periodicity
6. first brillouin zone
7. Bandgap
8. Huang & Shi
9. Dertimanis
10. Pu
11. Flyash
12. resonators
13. Palermo
14. Muhammad
15. Liu
16. depth of energy
17. sound line
18. frequency domain
19. time domain
20. Comsol
21. displacement modulation function
22. Wavenumber
23. Brillouin reciprocal space
24. first irreducible brillouin zone
25. dispersion relation
26. sound cone
27. amplitude reduction factor (AR)
28. amplitude reduction spectra (ARS)

منابع (References)

1. Woods, R.D. "Screening of surface wave in soils", *Journal of The Soil Mechanics and Foundations Division*, **94**(4), pp. 951-979 (1968).
2. May, T.W. and Bolt, B.A. "The effectiveness of trenches in reducing seismic motion", *Earthquake Engineering & Structural Dynamics*, **10**(2), pp. 195-210 (1982).
3. Pu, X. and Shi, Z. "Surface-wave attenuation by periodic pile barriers in layered soils", *Construction and Building Materials*, **180**, pp. 177-187 (2018).
4. Huang, J. and Shi, Z. "Attenuation zones of periodic pile barriers and its application in vibration reduction for plane waves", *Journal of Sound and Vibration*, **332**(19), pp. 4423-4439 (2013).
5. Dertimanis, V.K., Antoniadis, I.A. and Chatzi, E.N. "Feasibility analysis on the attenuation of strong ground motions using finite periodic lattices of mass-in-mass barriers", *Journal of Engineering Mechanics*, **142**(9), pp. 04016060 (2016).
6. Pu, X. and Shi, Z. "A novel method for identifying surface waves in periodic structures", *Soil Dynamics and Earthquake Engineering*, **98**, pp. 67-71 (2017).
7. Miniaci, M., Krushynska, A., Bosia F. and et al. "Large scale mechanical metamaterials as seismic shields", *New Journal of Physics*, **18**(8), pp. 083041 (2016).
8. Du, Q., Zeng, Y., Huang, G, and et al. "Elastic metamaterial-based seismic shield for both Lamb and surface waves", *AIP Advances*, **7**(7), pp. 075015 (2017).
9. Palermo, A., Krodel, S., Marzani, A. and et al. "Engineered metabarrier as shield from seismic surface waves", *Scientific Reports*, **6**(1), pp. 1-10 (2016).
10. Muhammad, Lim, C. and Reddy, J. "Built-up structural steel sections as seismic metamaterials for surface wave attenuation with low frequency wide bandgap in layered soil medium", *Engineering Structures*, **188**, pp. 440-451 (2019).
11. Liu, Y.-f., Huang, J.-K., Li, Y.G. and et al. "Trees as large-scale natural metamaterials for low-frequency vibration reduction", *Construction and Building Materials*, **199**, pp. 737-745 (2019).
12. Graczykowski, B., Alzina, F., Gomis-Bresco, J. and et al. "Finite element analysis of true and pseudo surface acoustic waves in one-dimensional phononic crystals", *Journal of Applied Physics*, **119**(2), pp. 025308 (2016).
13. Liu, Z., Dong, H.-W. and Yu, G.-L. "Topology optimization of periodic barriers for surface waves", *Structural and Multidisciplinary Optimization*, **63**(1), pp. 463-478 (2021).
14. Muzar, E. and Stotz, J.A. "Surface acoustic wave modes in two-dimensional shallow void inclusion phononic crystals on GaAs", *Journal of Applied Physics*, **126**(2), pp. 025104 (2019).
15. Westafer, R.S., Mohammadi, S., Adibi, A. and et al. "Computing surface acoustic wave dispersion and band gaps", in *Excerpt from the Proceedings of the COMSOL Conference* (2009).

16. Benchabane, S., Khelif, A., Rauch, J.-Y. and et al “Evidence for complete surface wave band gap in a piezoelectric phononic crystal”, *Physical Review E*, **73**(6), pp. 065601 (2006).
17. Khelif, A., Achaoui, Y., Benchabane, S. and et al. “Locally resonant surface acoustic wave band gaps in a two-dimensional phononic crystal of pillars on a surface”, *Physical Review B*, **81**(21), pp. 214303 (2010).
18. Kittel, C. “Introduction to solid state physics”, *American Journal of Physics*, **35**(6), pp. 547-548 (1967).
19. Cheng, Z. and Shi, Z. “Composite periodic foundation and its application for seismic isolation”, *Earthquake Engineering & Structural Dynamics*, **47**(4), pp. 925-944 (2018).